

Chen, et al.
FIS920030198US1 HDS

1/7

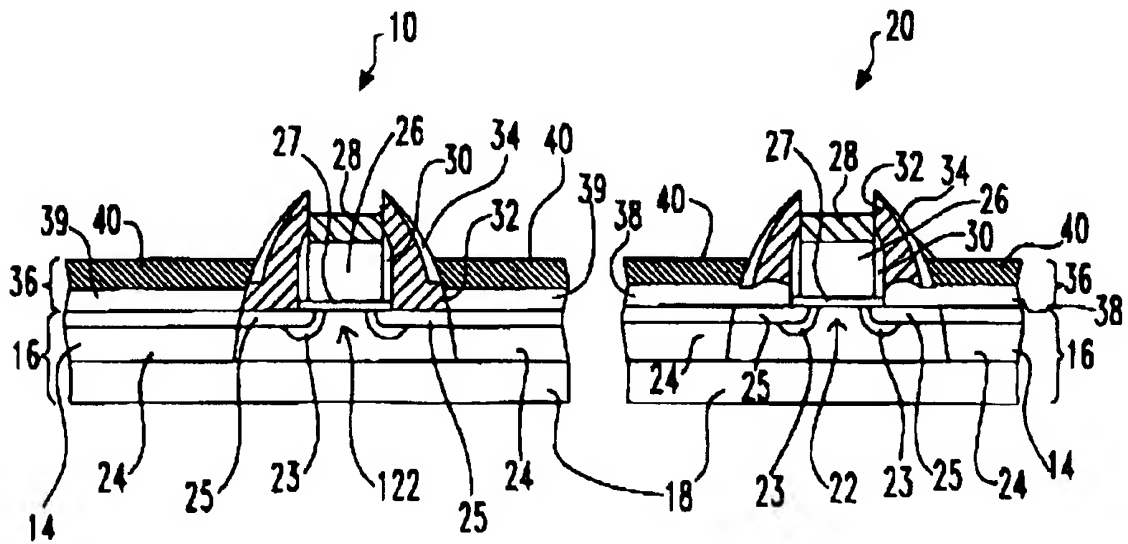


FIG. 1

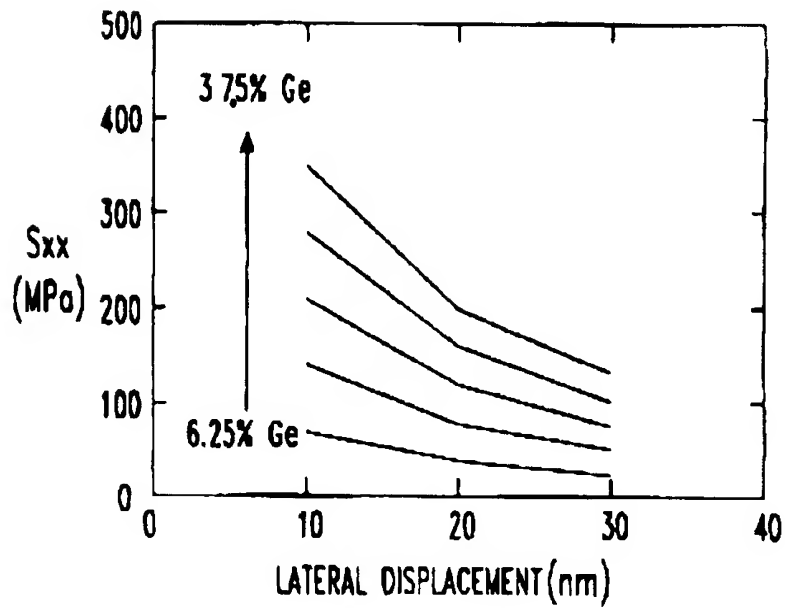


FIG. 2

2/7

FIG. 3

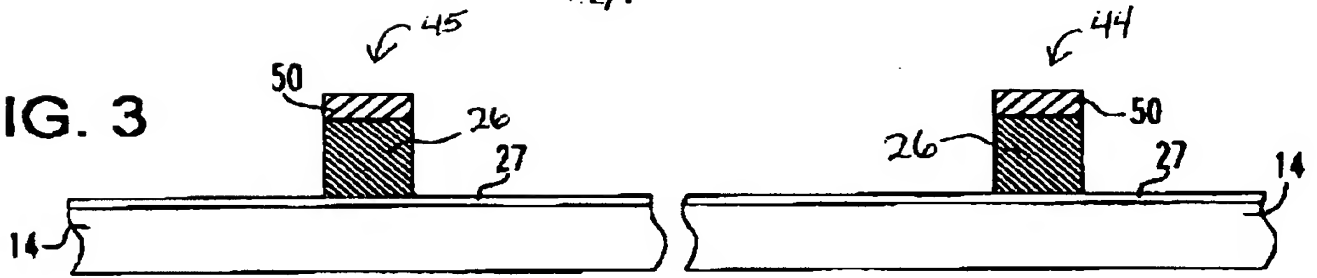


FIG. 4

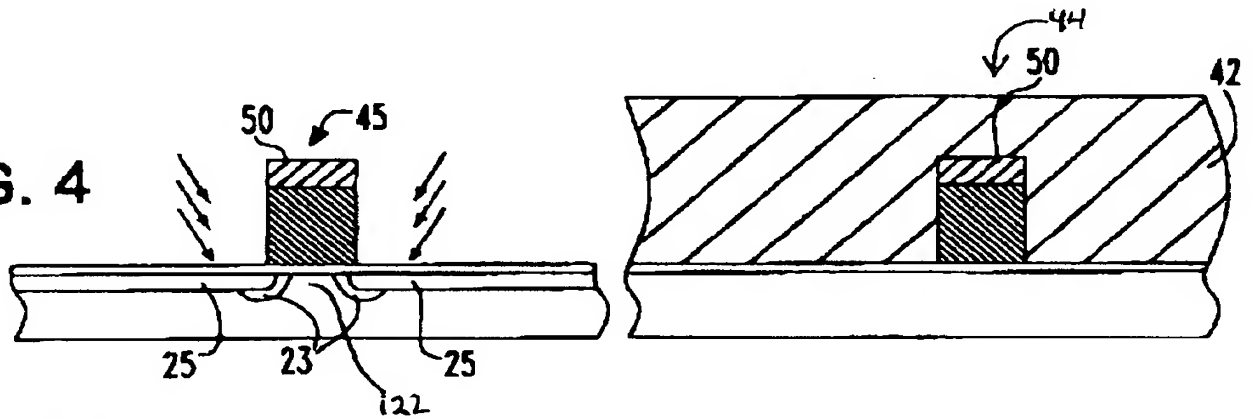


FIG. 5

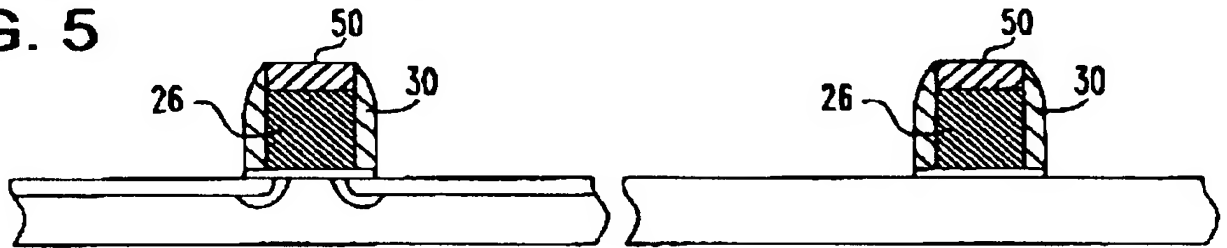


FIG. 6

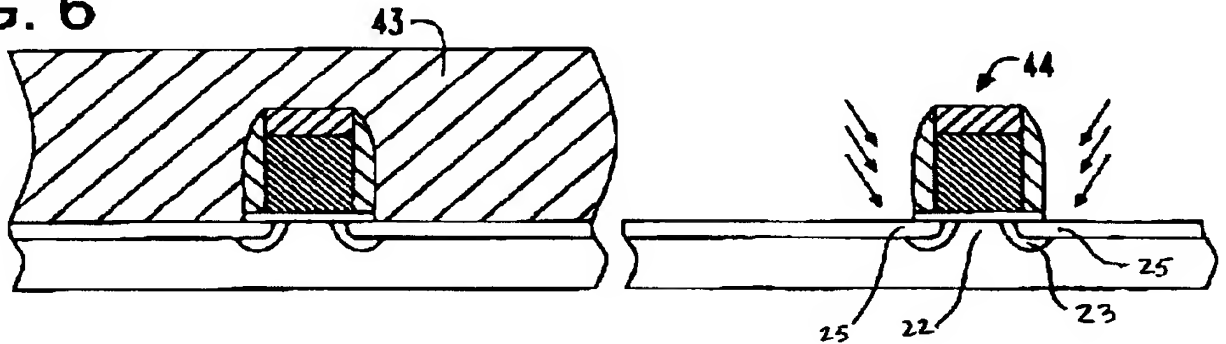
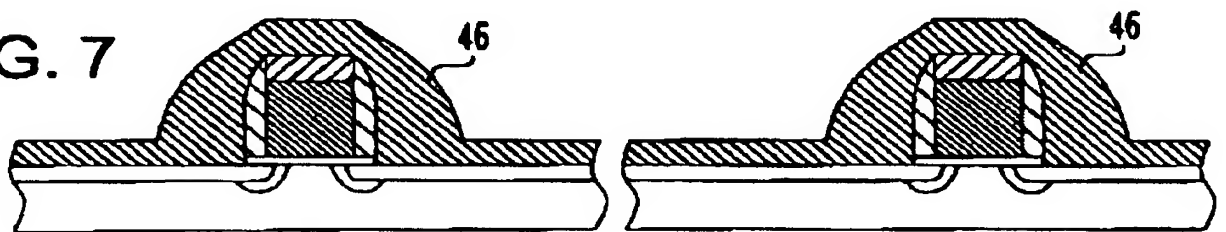


FIG. 7



3/7

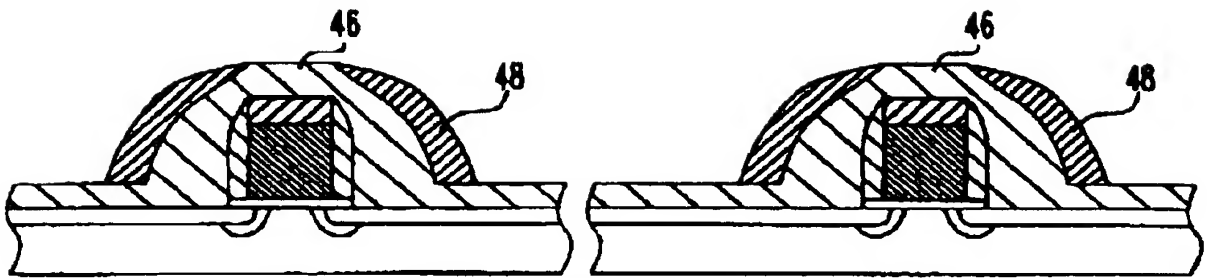


FIG. 8

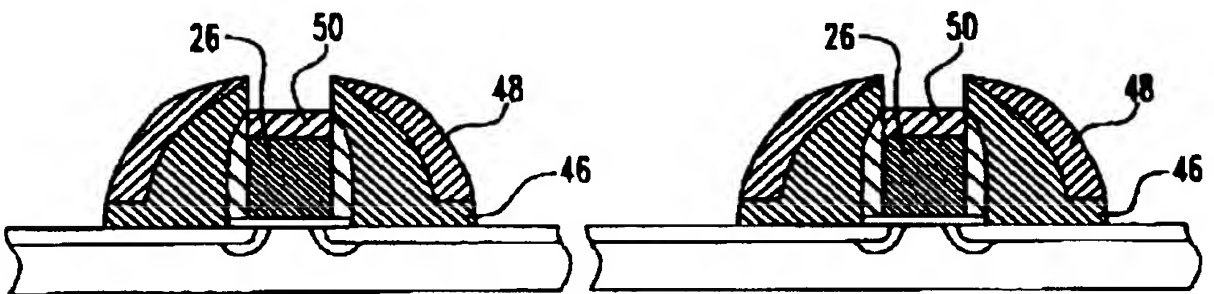


FIG. 9

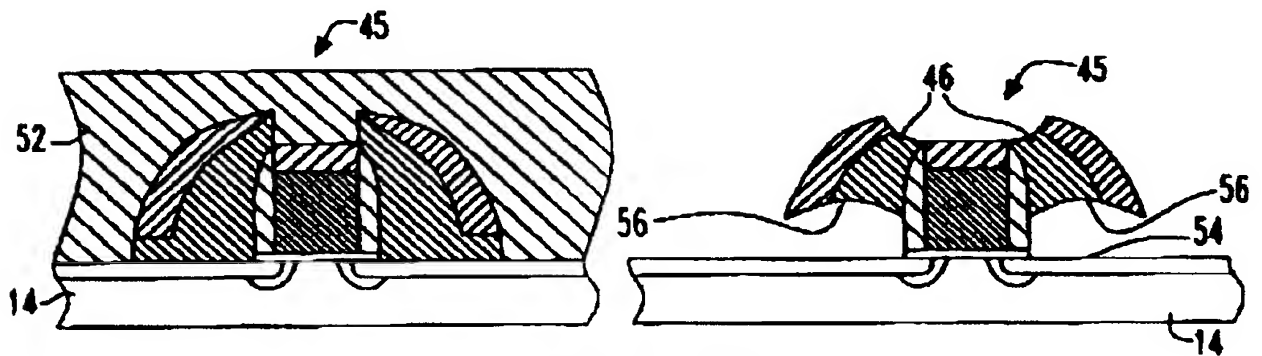


FIG. 10

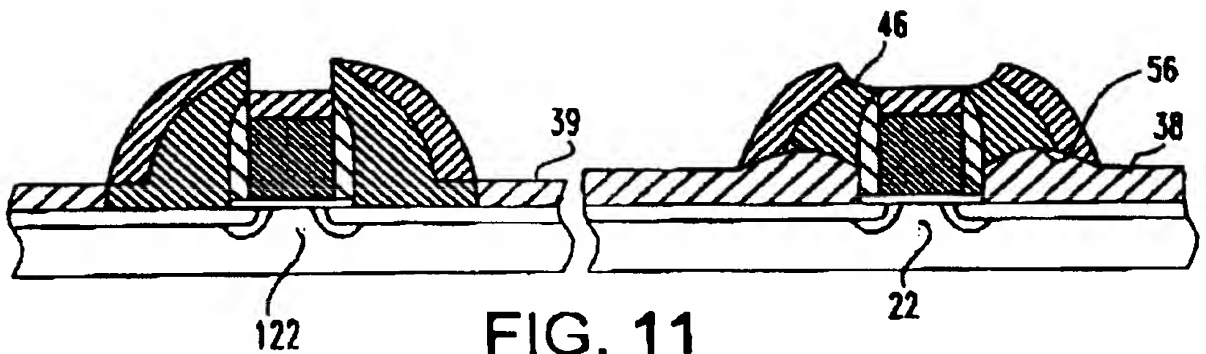


FIG. 11

4/7

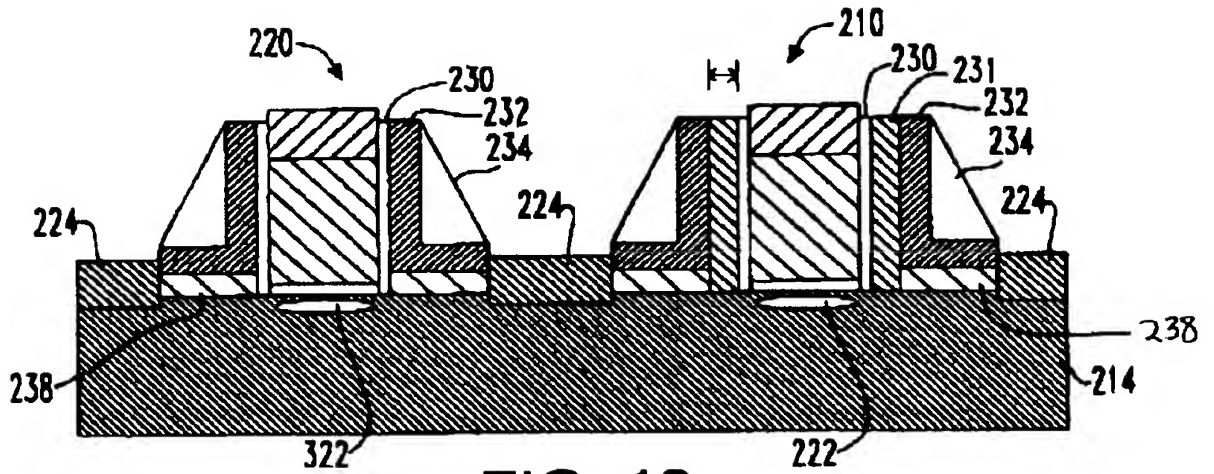


FIG. 12

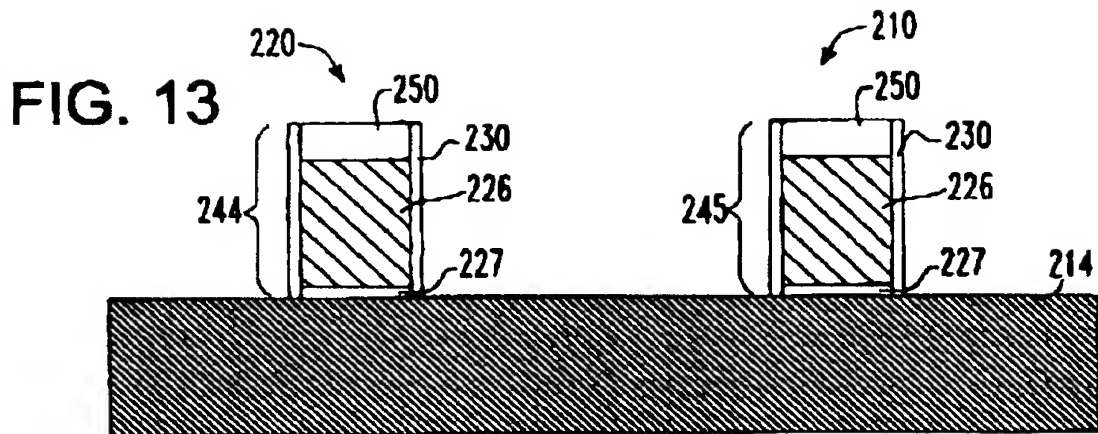


FIG. 13

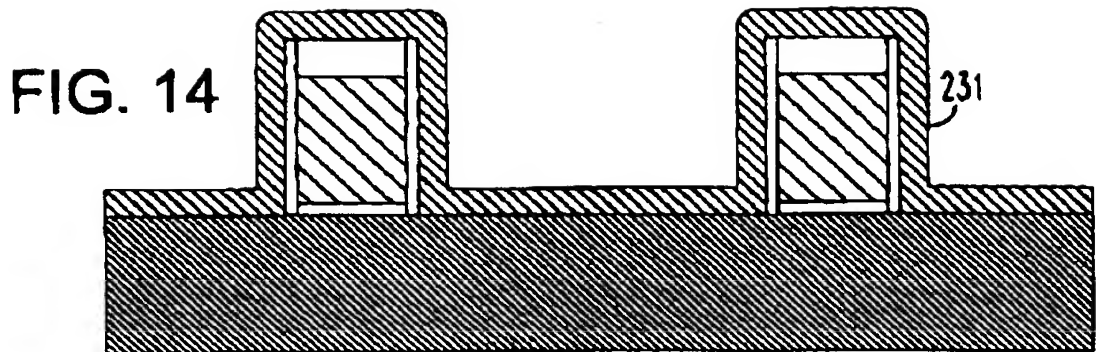


FIG. 14

.5/7

FIG. 15

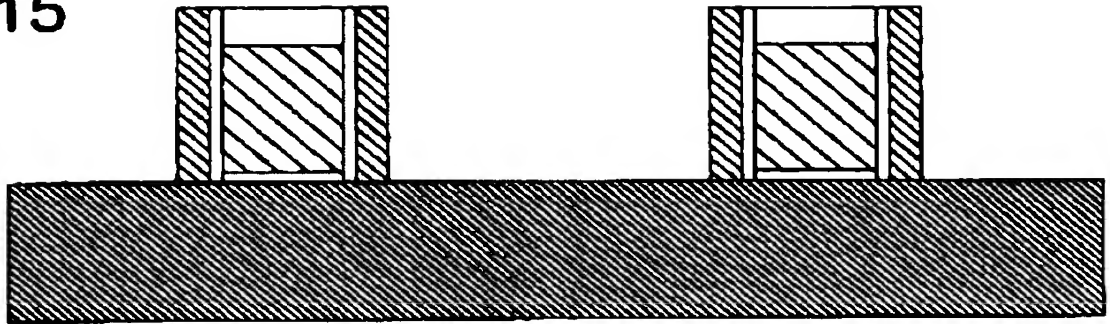


FIG. 16

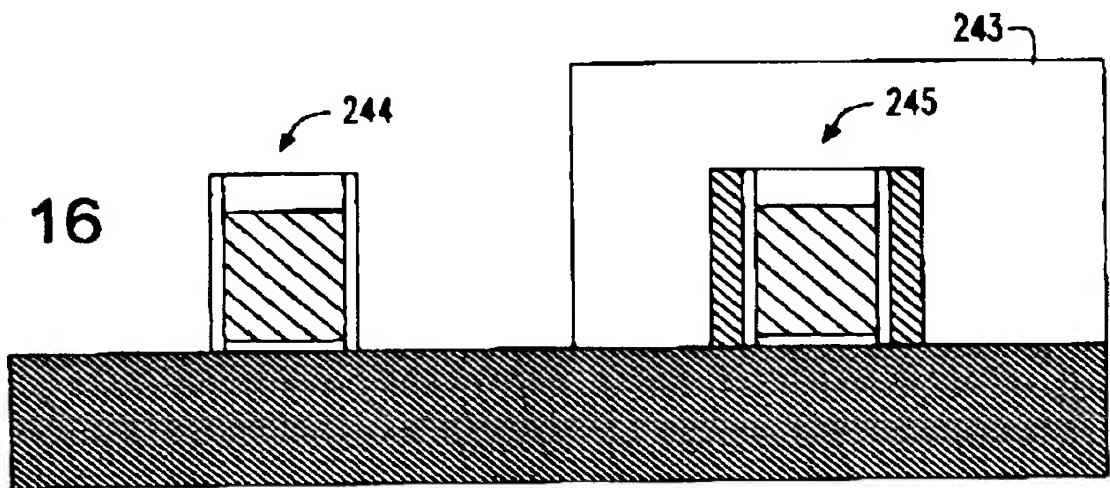
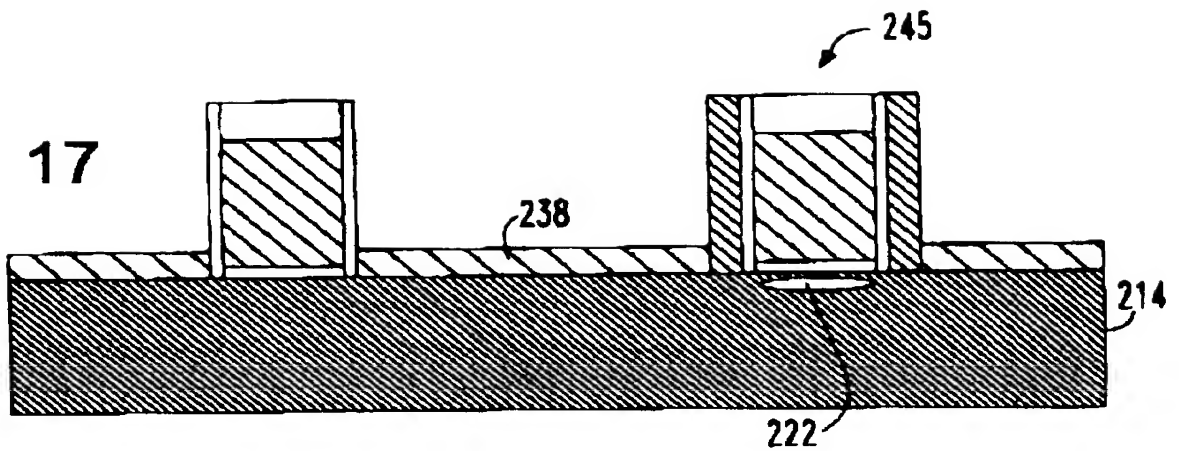


FIG. 17



6/7

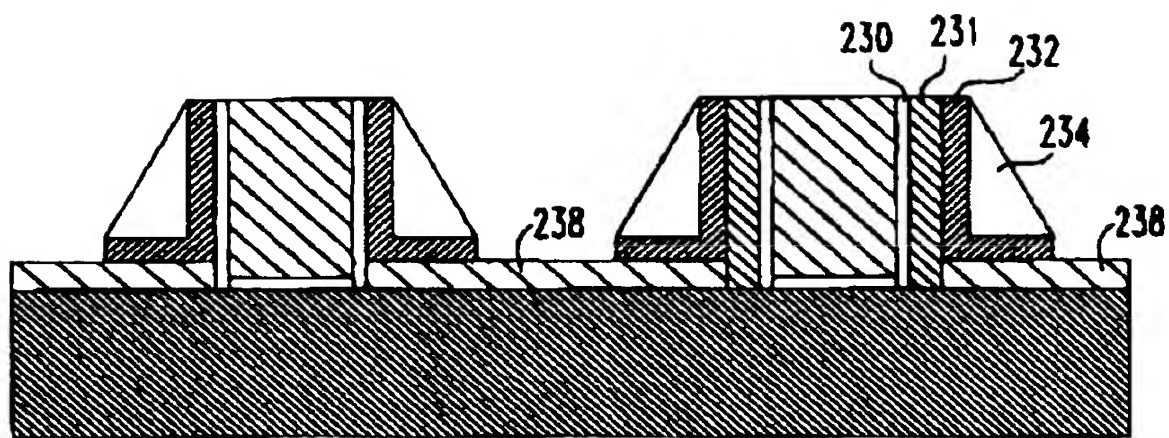


FIG. 18

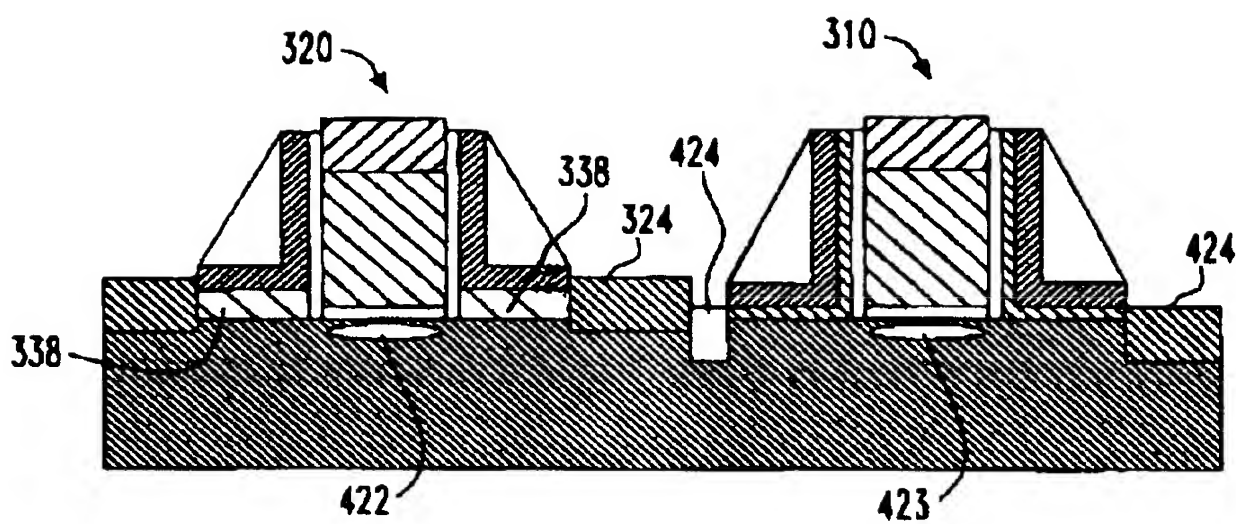


FIG. 19

7/7

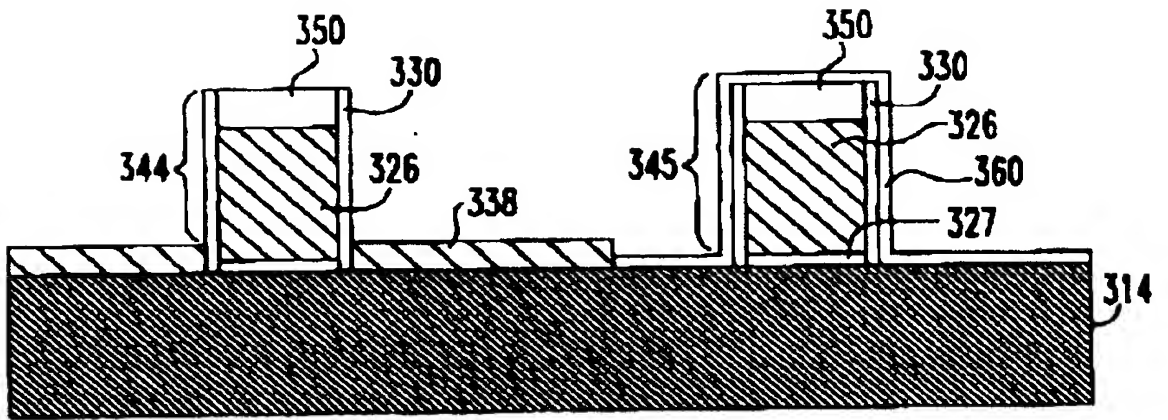


FIG. 20

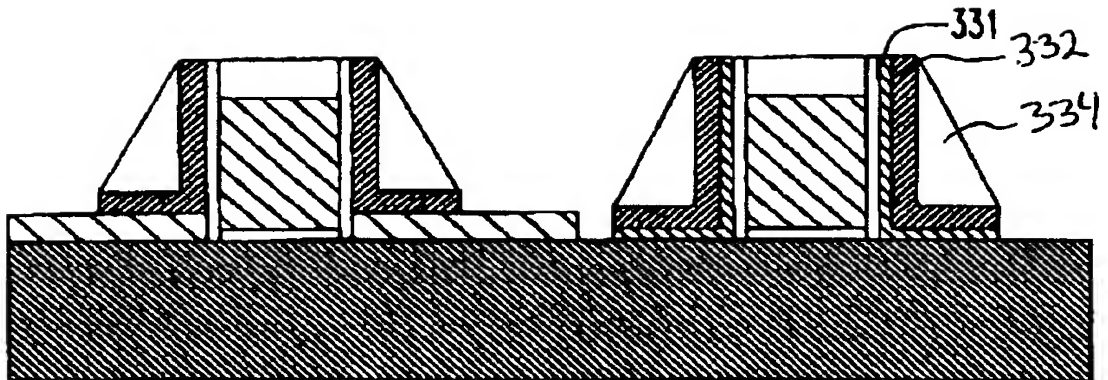


FIG. 21